

01;10

Шестиэлектродный дефлектор

© Л.П. Овсянникова, Т.Я. Фишкова

Физико-технический институт им. А.Ф. Иоффе РАН,
194021 Санкт-Петербург, Россия
E-mail: L.Ovsyannikova@pop.ioffe.rssi.ru

(Поступило в Редакцию 20 июля 1999 г.)

В замкнутой форме в двумерном приближении найдено распределение потенциала дефлектора из шести электродов, ранее предложенного авторами. Рассчитана неоднородность его поля. Численно получено распределение поля на оси дефлекторов конечной длины, для которых подобраны аналитические формулы. Рассчитана нелинейность отклонения осевой траектории пучка в горизонтальном и вертикальном направлениях на максимально возможный угол, определяемый геометрией системы. Проведено сравнение с четырех- и восьмиэлектродными дефлекторами.

В растровых электронных микроскопах, электронно-лучевых приборах, дифрактометрах на быстрые и медленные электроны, в методиках вторично-ионной и атомной масс-спектрометрии и др. для создания раstra на образце используются электростатические отклоняющие в произвольном направлении системы с пространственно совмещенными центрами отклонения — так называемые дефлекторы. Они не оказывают (в первом приближении) фокусирующего действия на пучки заряженных частиц. Основным требованием, предъявляемым к таким системам, является наличие в рабочей области поля максимально возможной однородности.

Конструктивно электростатические дефлекторы чаще всего выполняются в виде цилиндра или конуса, разрезанного по образующим на четное число ветвей [1,2], в виде плоских электродов, расположенных по сторонам прямоугольной (квадратной) коробки [3,4], а также в виде разрезанного плоского конденсатора [5,6].

В работе [7] нами предложен шестиэлектродный дефлектор с одинаковыми угловыми размерами электродов, равными $\pi/3$ (при условии бесконечно малых зазоров между ними), которые расположены на цилиндрической (конической) поверхности. Его поперечное сечение представлено на рис. 1. Если записать распределение потенциала внутри бесконечно длинного разрезанного по образующим цилиндра в виде ряда в

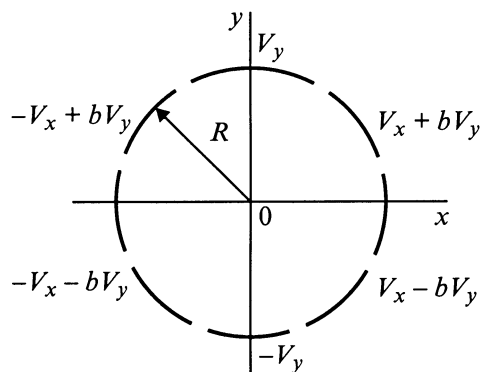


Рис. 1. Поперечное сечение шестиэлектродного дефлектора.

декартовой системе координат, то при предложенном авторами способе подачи питающих напряжений (как это указано на рис. 1) коэффициенты в разложении потенциала шестиэлектродного дефлектора таковы:

$$K_{(2n-1)x} = 4/\pi/(2n-1) \sin[(2n-1)\pi/3],$$

$$K_{(2n-1)y} = 4/\pi/(2n-1) \{b + (1-b) \cos[(2n-1)\pi/3]\}. \quad (1)$$

Из этих выражений следует, что $K_{3x} = 0$ всегда, а $K_{3y} = 0$ только при $b = 0.5$. При этом по сравнению с обычно применяемым четырехэлектродным дефлектором шестиэлектродный имеет более высокую степень однородности поля. В соответствии с формулой (1) коэффициент при старшем члене, ответственный за чувствительность отклонения в горизонтальном направлении, равен $K_{1x} = 2\sqrt{3}/\pi$, а в вертикальном — $K_{1y} = 3/\pi$. Поэтому для получения одинаковой величины отклонения в обоих направлениях питающие напряжения должны быть связаны между собой следующим образом: $V_x/V_y = \sqrt{3}/2$.

Распределение потенциала в замкнутой форме шестиэлектродного дефлектора со скорректированными третьими гармониками в разложении потенциала имеет следующий вид:

$$\begin{aligned} \Phi(6) = & 1/\pi \{ (V_x + 1/2V_y) \arctg [(\sqrt{3} + y)/(1 - x^2 - y^2)] \\ & + (V_x - 1/2V_y) \arctg [(\sqrt{3}x - y)/(1 - x^2 - y^2)] \\ & + V_y \arctg [2y/(1 - x^2 - y^2)] \}. \quad (2) \end{aligned}$$

Здесь и в дальнейшем координаты x и y выражены в единицах радиуса цилиндра R . Составляющие напряженности поля такого дефлектора равны

$$\begin{aligned} E_x(6) = & -1/(\pi R) \{ (V_x + 1/2V_y) [\sqrt{3}(1 + x^2 - y^2) \\ & + 2xy] / [(1 - x^2 - y^2)^2 + (\sqrt{3}x + y)^2] + (V_x - 1/2V_y) \\ & \times [\sqrt{3}(1 + x^2 - y^2) - 2xy] / [(1 - x^2 - y^2)^2 + (\sqrt{3}x - y)^2] \\ & + 4V_y xy / [(1 - x^2 - y^2)^2 + 4y^2] \}, \end{aligned}$$

$$E_y(6) = -1/(\pi R) \{ (V_x + 1/2V_y) \times [1 - x^2 + y^2 + 2\sqrt{3}xy] / [(1 - x^2 - y^2)^2 + (\sqrt{3}x + y)^2] - (V_x - 1/2V_y) [1 - x^2 + y^2 - 2\sqrt{3}xy] / [(1 - x^2 - y^2)^2 + (\sqrt{3}x - y)^2] + 2V_y [(1 - x^2 + y^2) / [(1 - x^2 - y^2)^2 + 4y^2]] \}. \quad (3)$$

Из выражений (3) следует, что при $V_x/V_y = \sqrt{3}/2$ составляющие напряженности поля на оси равны $E_x(x = y = 0) = E_y(x = y = 0) = E_h$, где E_h — напряженность соответствующего однородного поля.

На рис. 2 приведена неоднородность поля ΔE , отнесенная к напряженности однородного поля, в зависимости от расстояния до оси для шестиэлектродного дефлектора, рассчитанная с использованием формул (3) (кривые 2). Для сравнения даны неоднородности полей простейшего четырехэлектродного дефлектора с угловыми размерами электродов $\pi/2$ (кривые 1), а также восьмиэлектродного с угловыми размерами $\pi/4$, предложенного в работе [2] (кривые 3). Задавая величину неоднородности поля, требуемую для решения той или иной задачи, можно определить величину максимально возможного удаления траектории от оси системы, что в конечном счете определяет угол отклонения. Так, при

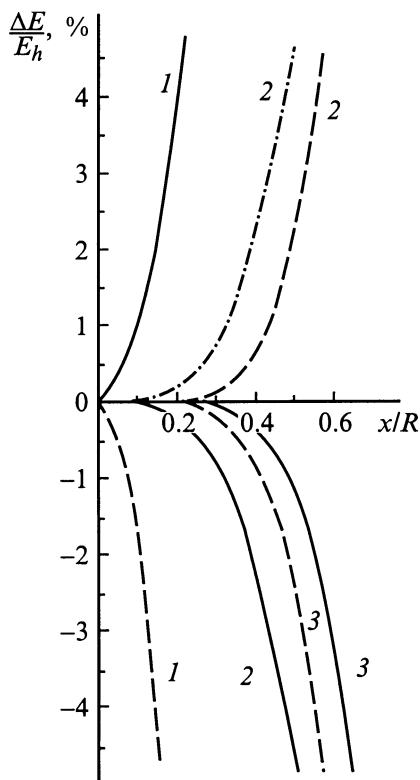


Рис. 2. Неоднородность поля электростатических дефлекторов. Сплошные кривые — отклонение в направлении оси x , штрихпунктир — в направлении оси y , штриховые — по диагонали.

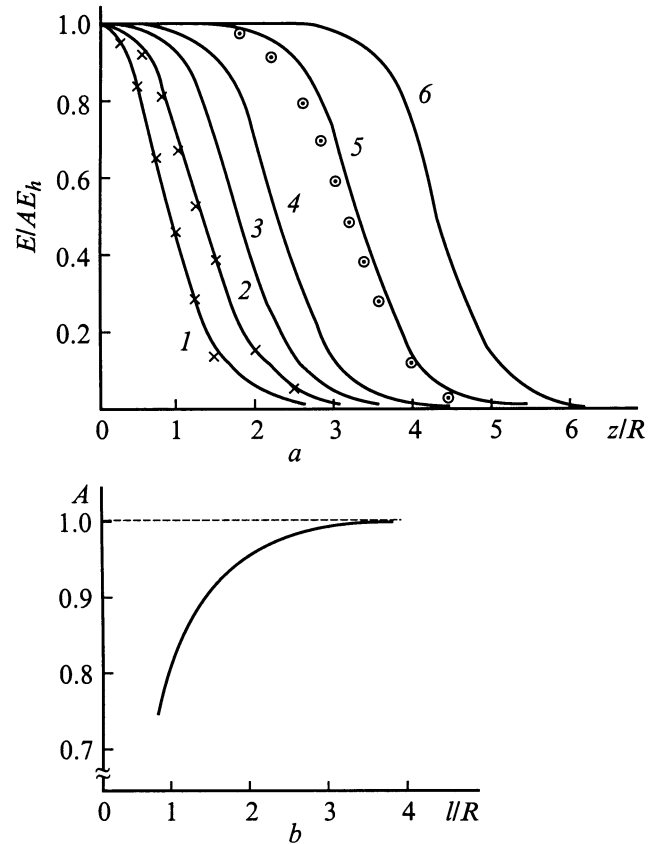


Рис. 3. a — напряженность поля дефлекторов различной длины (l/R : 1 — 1, 2 — 2, 3 — 3, 4 — 4, 5 — 6, 6 — 8); b — коэффициент, определяющий величину напряженности поля в центре системы.

$\Delta E/E_h = 0.1\%$ удаление от оси не должно превышать для четырехэлектродного дефлектора $0.02R$, для шестиэлектродного — $0.17R$, для восьмиэлектродного — $0.25R$. Следует отметить, что для двух последних разница невелика и во многих случаях шестиэлектродный дефлектор не уступает восьмиэлектродному. Ниже это будет показано на основании траекторного анализа путем определения нелинейности отклонения на одинаковые углы.

Распределение поля вдоль оси в приосевой области любых дефлекторов совпадает с полем плоского конденсатора, если они имеют одинаковую длину и межэлектродное расстояние. Оно было рассчитано численно (при расположении дефлектора в свободном пространстве) по программе ТЕО [8]. Результаты расчета напряженности поля на продольной оси дефлекторов различной длины, отнесенной к напряженности поля в центре AE_h , даны на рис. 3, a . Величина коэффициента A , зависящая от длины дефлектора, представлена на рис. 3, b . На основании приведенных на рис. 3 данных была подобрана аналитическая формула для распределения поля. Для коротких дефлекторов с длиной $1 \leq l/R \leq 2$ она имеет вид

$$E(z) = AE_h \cos^3(Bz/R), \quad (4)$$

где $B = 0.9 - 0.2l/R$.

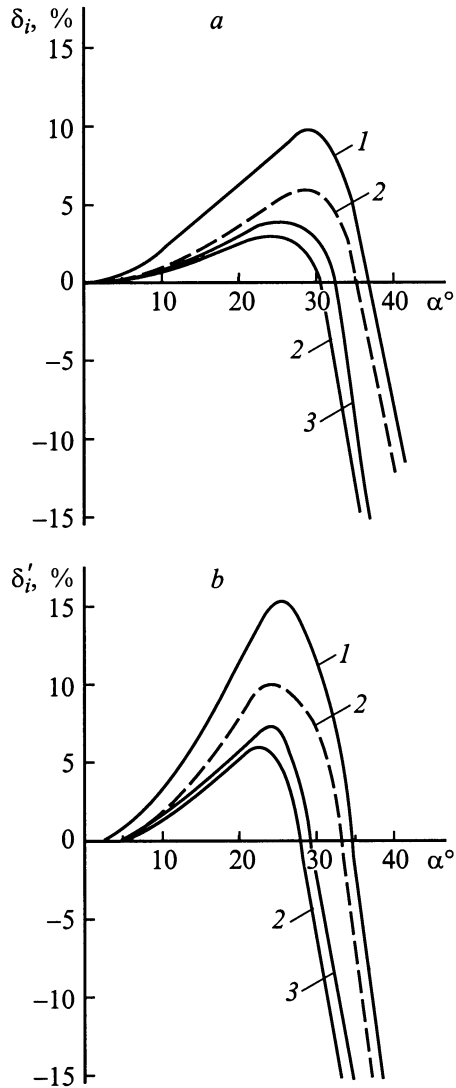


Рис. 4. Нелинейность отклонения по координате (а) и по углу (б) осевой траектории пучка на выходе дефлекторов длиной $l = 2R$: 1 — четырехэлектродный дефлектор, 2 — шестиэлектродный, 3 — восьмиэлектродный. Сплошные кривые — отклонения в направлении оси x , штриховые — в направлении оси y .

Начало координат $z = 0$ совпадает с центром дефлектора. На рис. 3, а распределение поля, рассчитанное по формуле (4), обозначено крестиками. Для длинных дефлекторов с $l/R > 3$ коэффициент $A = 1$. При этом появляется участок с $E_h = \text{const}$, протяженность которого зависит от длины системы. Для него найдена эмпирическая формула

$$z_0/R = l/R - 2.8. \quad (5)$$

Кроме того, у длинных дефлекторов существует краевое поле, практически не зависящее от его длины, которое может быть записано в простом виде

$$E_k = E_h \cos^2[z/(2R)]. \quad (6)$$

Краевое поле, рассчитанное по формуле (6), отмечено на рис. 3, а точками в кружках. На основании выражений (4)–(6) были найдены эффективные длины дефлекторов. Для коротких систем эффективная длина равна

$$L = 2 \int_0^{\pi/(2B)} \cos^3(Bz/R) dz = 4R/(3B), \quad (7)$$

для длинных

$$L = z_0 + 2 \int_0^{\pi} \cos^2(z/2R) dz = l + 0.3R. \quad (8)$$

Траектории пучка заряженных частиц в отклоняющих системах рассчитывались численно по программе DEF. Она написана нами с использованием системы автоматизации математических расчетов MathCAD. В рамках этой программы каждое уравнение второго порядка сводится к системе из двух дифференциальных уравнений первого порядка. Погрешность при решении составляет 10^{-6} .

По программе DEF были рассчитаны осевые траектории пучков в коротком и длинном шестиэлектродном дефлектронах, поля которых задаются формулами (3)–(6). Полученные координаты и углы наклона на выходе из поля сравнивались с результатами расчета

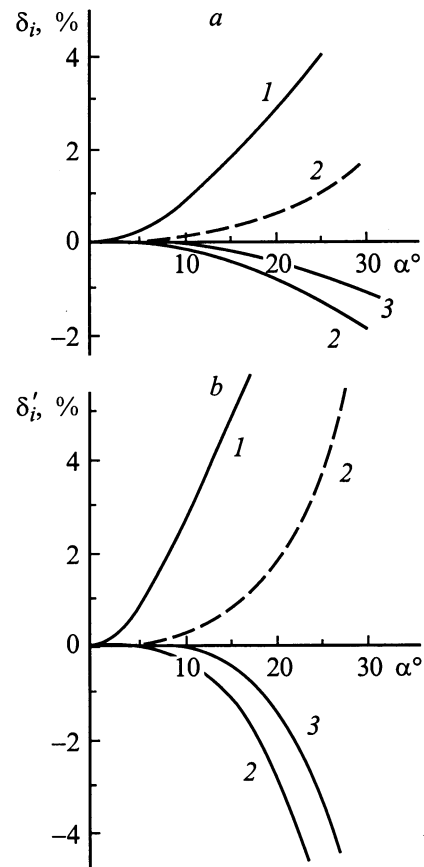


Рис. 5. То же, что на рис. 4, на выходе дефлекторов длиной $l = 4R$.

$l/R = 2$					$l/R = 4$			
V/Φ_0	α_x^0	x_i/R	α_y^0	y_i/R	α_x^0	x_i/R	α_y^0	y_i/R
0.05	3.5	0.192	3.5	0.192	5.9	0.225	5.9	0.225
0.1	7.0	0.386	7.0	0.386	11.6	0.449	11.8	0.450
0.2	14.1	0.779	14.3	0.782	21.7	0.891	23.1	0.907
0.25					26.2	1.100	28.8	1.140
0.3	21.2	1.183	21.8	1.202				
0.4	26.8	1.577	28.0	1.627				
0.5	30.5	1.918	32.4	2.004				
0.6	32.8	2.196	35.0	2.320				
0.8	35.5	2.630	38.4	2.840				
1.0	37.1	2.972	41.1	3.330				

по прямоугольной модели с эффективными длинами в соответствии с формулами (7), (8). Сравнение показало, что для коротких дефлекторов отличие доходило до 100%, а для длинных — не превышало 10%. Это означает, что влияние формы краевого поля на параметры пучка уменьшается с ростом длины дефлекторов и определяющим становится изменение радиального поля.

По результатам расчета параметров осевой траектории определялась нелинейность отклонения по координате (δ_i) и по углу наклона (δ'_i) на выходе из поля по следующим формулам

$$\delta_i = r_i/r_{ih} - 1; \quad \delta'_i = r'_i/r'_{ih} - 1, \quad (9)$$

где r_i , r'_i — расстояние от оси и угол наклона осевой траектории пучка на выходе из поля; r_{ih} и r'_{ih} — эти параметры для однородного поля.

Тогда нелинейность отклонения на объекте равна

$$\Delta = \delta'_i + \delta'_i \lambda, \quad \Delta' = \delta'_i, \quad (10)$$

где λ — расстояние от выхода из поля до объекта.

На рис. 4 представлены величины нелинейности отклонения по координате (a) и углу (b) для короткого шестиэлектродного дефлектора, длина которого равна диаметру его апертуры (кривые 2). На рис. 5 — те же параметры для дефлектора с длиной, равной двум диаметрам апертуры, рассчитанные по прямоугольной модели поля. Связь между силой отклоняющей системы и величиной угла отклонения, а также координатой осевой траектории на выходе из поля приведена в таблице. Сила отклоняющей системы определяется отношением основных питающих напряжений на электродах ($\pm V$) к ускоряющему потенциалу (Φ_0), причем $V_y = V$, $V_x = \sqrt{3}/2V$.

Ход кривых нелинейности отклонения для длинного и короткого дефлекторов, как это видно из рис. 4 и 5, существенно различается. Для первого характер зависимости от угла отклонения соответствует зависимости неоднородности поля бесконечно длинного дефлектора по мере удаления от его продольной оси, которая в первую очередь определяет нелинейность отклонения,

а краевое поле не оказывает большого влияния. Для второго существенно влияние краев. При этом величина нелинейности отклонения длинного дефлектора в 2–4 раза меньше, чем короткого, при углах отклонения до 25°.

Следует отметить, что если угол отклонения в коротком дефлекторе превышает 25–30°, то нелинейность отклонения резко меняется и, следовательно, искажается форма пятна из-за сильного различия хода осевой и крайних траекторий пучка. Поэтому такие режимы нецелесообразно использовать в точных приборах, таких как, например, растровый электронный микроскоп.

Для сравнения на рис. 4, 5 приведены параметры четырех- (кривые 1) и восьмиэлектродных (кривые 3) дефлекторов, рассчитанные также по программе DEF при одинаковом с шестиэлектродным дефлектором распределении поля вдоль продольной оси. Как и следовало ожидать, нелинейность отклонения четырехэлектродной системы является наибольшей. Если принять, к примеру, $\delta = 1\%$, то угол отклонения в ней не должен превышать 5°. При этом в коротком шести- и восьмиэлектродных дефлекторах пучок можно отклонять на угол до 8°, в длинном восьмиэлектродном — до 18°, а в шестиэлектродном — до 15°.

Таким образом, предложенный шестиэлектродный дефлектор со скорректированными третьими гармониками в разложении потенциала в целом ряде случаев оказывается предпочтительнее, поскольку его параметры близки к восьмиэлектродному, а конструктивно он проще.

Список литературы

- [1] *Бонштедт Б.Э.* А.С. № 143479. БИ. 1961. № 24.
- [2] *Kelly J.* Adv. in Electr. & Electron. Phys. 1977. Vol. 43. P. 116–130.
- [3] *Овсянникова Л.П., Фишкова Т.Я.* // ЖТФ. 1986. Т. 56. Вып. 7. С. 1348.
- [4] *Овсянникова Л.П., Фишкова Т.Я.* А.С. № 1365179. БИ. 1988. № 1.
- [5] *Овсянникова Л.П., Фишкова Т.Я., Мосеев В.В.* А.С. № 1557603. БИ. 1990. № 14. 233 с.
- [6] *Овсянникова Л.П., Фишкова Т.Я.* // ЖТФ. 1988. Т. 58. Вып. 6. С. 1176.
- [7] *Фишкова Т.Я., Шапоренко А.А., Овсянникова Л.П.* и др. А.С. № 1729247. БИ. 1993. № 23. 130 с.
- [8] *Овсянникова Л.П., Пасовец С.В., Фишкова Т.Я.* // ЖТФ. 1992. Т. 62. Вып. 12. С. 171.